

蒸汽锅炉 金属晶粒间的腐蚀

苏联 II.A. 阿柯里津 Г.Р. 里别尔曼著

水利电力出版社

蒸汽鍋爐 金屬晶粒間的腐蝕

苏联科学技术副博士 H.A. 阿柯里津 工程师 Г.Р. 里别尔曼著

馬文礼譯

龐逢時校

水利电力出版社

内 容 提 要

本书简述蒸汽锅炉各元件结合部分金属晶粒间腐蚀过程的一些重要问题，研究晶粒间腐蚀引起损坏的一些典型例子，叙述防止腐蚀的主要措施和检查晶粒间裂纹的现代方法；此外，还研究了焊接汽鼓晶粒间裂纹的一些焊补问题。本书可供发电厂和工业企业的锅炉房及调整机构的工程技术人员参考。

本书系马文礼同志翻译，郎世栋同志校译了部分章节；最后，由顾遂时同志校订了全稿。

КАНД ТЕХН:НАУК П.А.АКОЛЬЗИН И НЖ.Г.Р.ЛИВЕРМАН
МЕЖКРИСТАЛЛИЧЕСКАЯ НОРРОЗИЯ
МЕТАЛЛА ПАРОВЫХ КОТЛОВ
ИЗДАТЕЛЬСТВО МИНИСТЕРСТВА КОММУНАЛЬНОГО
ХОЗЯЙСТВА РСФСР МОСКВА 1955

蒸汽锅炉金属晶粒间的腐蚀

根据苏联俄罗斯苏维埃联邦社会主义共和国公用事业部出版社

1955年莫斯科版翻译

马文礼译，顾遂时校

*

2261R494

水利电力出版社出版（北京西路科学路三号内）

北京市书刊出版业营业登记证字第105号

水利电力出版社印刷厂排印

新华书店科技发行所发行 各地新华书店经售

*

850×1168毫米开本 * 4版印张 * 99千字 * 定价(第10类)0.70元

1960年1月北京第1版

1960年1月北京第1次印刷(0001—2,580册)

前　　言

晶粒間腐蝕是蒸汽鍋爐金屬的一種最普遍而最危險的損壞形態。在 B.H. 諾也夫所著的“鍋爐元件結合處的脆化破壞”(蘇聯國立動力出版社 1947 年出版)一書中已闡明了這一問題。自該書問世以來到目前為止，在研究蒸汽鍋爐金屬這類破壞的過程、檢查方法和防止對策等方面已積累了許多資料。因此，就有必要補充總結一下在這些方面已完成的各項工作的成果，並將它推廣到廣大的發電廠工程技術人員和調整人員中去。作者編寫此書時就是本着這個精神，主要以 Φ.Φ. 捷爾任斯基全蘇熱工研究所(水研究室)和俄羅斯蘇維埃聯邦社會主義共和國市政公用部所屬市政動力技術改進局(鍋爐組和用電監察處)的資料為根據，並利用蘇聯國家地區發電廠及輸電線路技術改進局、中央機器製造和工藝科學研究所及有關部門的一些研究工作成果寫成本書。

書中第一、二(第1、2、3節)、四、七章(第1節)、緒言及附錄等是科學技術副博士 II.A. 阿柯里津寫的；第三(除例 8 到例 13 外)、五、六、八章、第七章的第 2 節等是工程師 Г.Р. 里別爾曼寫的；第二章第 4 節、第三章的例 8 到例 13 是二人合寫的。

目 录

緒論	3
第一章 蒸汽鍋炉金屬晶粒間腐蝕的理論	6
一、關於裂紋形成過程的主要假說	6
二、金屬腐蝕的電化學理論	7
三、鍋爐金屬晶粒間腐蝕的實驗研究	12
第二章 蒸汽鍋炉金屬晶粒間腐蝕的主要因素	17
一、形成裂紋的主要條件	17
二、金屬成份及其處理的影響	19
三、鍋爐水成份的影響	20
四、機械應力的作用	23
第三章 蒸汽鍋炉因晶粒間腐蝕而損壞的典型實例	25
第四章 鍋爐水侵蝕性的運行監督	52
第五章 檢查附加應力的方法	58
第六章 檢查裂紋的方法	64
一、磁性探傷法	64
二、射線照相法	72
三、磁性螢光探傷法	73
四、超音波探傷法	74
第七章 防止晶粒間腐蝕的方法	80
一、鍋爐水侵蝕性的消除	80
1. 鍋爐水的純磷酸鹽鹼度的處理	80
(1) 純磷酸鹽鹼度處理的作用(80) (2) 磷酸鹽品質的檢查(81)	
(3) 采用純磷酸鹽鹼度處理的條件(82) (4) 實際採用純磷酸鹽處理所收到的效果(87)	
2. 鍋爐水的硝酸鹽處理	88
(1) 硝酸鹽處理的作用(88) (2) 硝石品質的檢查(88) (3) 采用硝酸鹽處理的條件(89) (4) 實際採用硝酸鹽處理所收到的效果(90)	
3. 水的硝酸處理	90
4. 鍋爐水的亞硫酸鹽紙漿和紙漿廠廢液濃縮物的處理	91
5. 鍋爐水的硫酸鹽處理	92
二、附加應力的消除	93
第八章 遭受晶粒間裂紋損壞的汽鼓的檢修	104
附錄 I 硝酸根的測定規程	115
附錄 II 論鍋爐水安全鹼性處理法	118
參考文獻	125

緒論

近几年来，在苏联发电厂和工业锅炉房内，锅炉金属上广泛地出现了一种特殊形态，即所谓“碱性脆化”的局部腐蚀现象。这种腐蚀是以裂纹形式出现在沸腾管和水冷壁管的两端及汽鼓本体上；在蒸汽锅炉元件的铆缝和胀接处的金属多半是由于这类腐蚀而遭受损坏。

这类损坏的产生是由于锅炉金属同电解液（锅炉水）相互作用的结果。裂纹产生在金属内应力较高的部分。就金相而言，裂纹具有混合的性质：裂纹的开端部分及其分支部分是沿晶粒间的边界而穿透金属的（图1）；视力所能看到的一些主要裂纹常常是穿过金属晶粒的内部。这种性质的裂纹是由晶粒间腐蚀所引起的集中的机械应力所造成的。



图1 晶粒间裂纹的显微照像

某些研究者指出，在高温下发生的裂纹天然具有晶粒间裂纹的特征。当温度较低时，出现的裂纹大都是穿过晶粒的裂纹。细小的裂纹主要是在浓度较低的碱溶液对金属的作用之下产生的。含有大量黑色磁性正、亚混合氧化铁的较粗的裂纹，是在高浓度碱

溶液对金属作用下所产生的。

在产生上述裂紋的地方，总是沒有金属的变形，因此，这类破坏就叫做“脆性破坏”或“无变形破坏”。

金属的机械性能如：塑性、强度和屈服点，并不因这类破裂而改变。通常，裂紋都具有强烈的分支性质。由于金属晶粒間的腐蝕，是在下列因素很长時間內不断的作用下才形成的，故沿金属裂紋的断口，是呈暗黑色的細晶粒状；它显然不同于純机械作用所产生的“鮮明有光泽的”断口。

这类晶粒間腐蝕是以一定的加速度发展着，也就是说，在初期金属破坏得很慢，随后其速度很快地增加，并可能带来严重的后果。曾有过由于这种腐蝕而致蒸汽鍋炉发生爆炸的事故。

裂紋通常发生在鉚孔之間，常是平行的，一个靠近一个，剩下的未被破坏的金属成为被裂紋隔开的小島形状。裂紋都是从鍋炉元件的各种接合的間隙中的金属表面逐渐扩展起来的。在沸腾管和水冷壁管的脹接口处常常形成的环形裂紋，与鉚縫內的“典型”裂紋性质相同。

应当指出，在采用离子交換水处理法以前，这种鍋炉金属破坏事故的次数是較少的；显然，这是由于水垢堵塞接合的不严密处所起的保护作用，以及由于用硬水补給的鍋炉水中沒有碱或碱的濃度較低的缘故。

采用阳离子交換法处理过的补充水及其他以药剂防止水垢的方法，常会使鍋炉水的絕對和相对碱度升高，因而引起鍋炉金属发生“苛性脆化”的实际危險。但不能因此就說鍋炉給水的阳离子交換法是一种不正确的方法；問題在于要建立这样一种鍋炉水处理，使能保証既无水垢，又无腐蝕現象。

苏联国家地区发电厂及輸电綫路技术改进局是綜合研究蒸汽鍋炉金属“苛性脆化”現象以及制定檢查和防止这类破坏的有效方法的倡議者。

关于这些問題，在 B.H. 諾也夫的专题論文中，以及 A.H. 馬迈特的书中已有論述。

近來，蘇聯國家地區發電廠及輸電線路技術改進局、中央機器製造和工藝科學研究所及國家礦山技術監察局的中央科學研究試驗室已制定並實施了一些利用磁性探傷器和超音波探傷器來檢查鍋爐內“苛性脆化”裂紋的新式有效方法。全蘇熱工研究所、國家礦山技術監察局的中央研究試驗室、中央機器製造和工藝科學研究所及波爾宗諾夫中央鍋爐汽輪機研究所，在研討鍋爐水中溶解物質對晶粒間腐蝕的產生和發展的影響以及這種腐蝕的進程方面，進行了廣泛的工作。市政動力技術改進局在市政發電廠系統內，對實際使用上述方法來檢查和防止鍋爐金屬的“苛性脆化”方面做了許多工作，它們的鍋爐也面臨了此類損壞的危險。

本書旨在簡要地敘述在研究蒸汽鍋爐金屬晶粒間腐蝕過程及其防止對策方面的最重要的研究和實際成就。

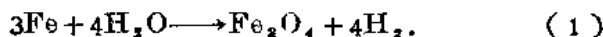
第一章 蒸汽鍋爐金屬晶粒間腐蝕的理論

一、關於裂紋形成過程的主要假說

對鍋爐鋼的“碱性脆化”雖然做過許多研究工作，但這方面的個別問題還缺乏充分明確而一致的意見。

絕大多數研究者都認識到這種現象的複雜性，它是由於鍋爐水的碱性濃縮液和金屬內的過高應力兩者共同作用所產生的。各種物質的溶液和溶液的碱性對於承受著應力的金屬所起作用的過程應該如何解釋，是目前爭論的焦點。

某些研究者認為，鋼在水的作用下所發生的純化學性的溶解是形成金屬“碱性脆化”的基本過程：



此時，碱只起催化劑的作用。如果沒有碱，這種反應只能在溫度為 $500\sim 600^\circ\text{C}$ 時才可以相當快的速度進行。

除了把碱的影響估計為加速這種過程外，對於它所起的作用還有由郝爾、巴爾特利得和施里捷爾等人所提出的某些其他解釋。按照他們的見解，認為即使在沒有碱時，水也會按上述反應式以很慢的速度同鐵起作用，不過此時產生了一種磁性氧化鐵的薄膜；由於這種薄膜能起保護作用，大大地阻礙了這種反應的進行。反應能否延續，則要視鍋爐水中所含物質對薄膜的影響而定。“如果薄膜被破壞，則反應繼續進行；否則，反應即行停止。”

研究者把碱看成是破壞氧化膜而形成亞鐵鹽的作用物。他們認為，薄膜也可能由於碱的膠體溶化（膠體電化的）作用而破壞。關於促成局部腐蝕和形成裂紋的條件問題，現有兩種主要假說：第一種假說認為碱對金屬的侵蝕作用是由於碱同鐵的反應或碱使晶粒間的杂质溶解。此時，假定水中有某種只能使金屬顆粒的表面上生成保護膜的催化劑（例如：矽酸鹽），因而引起晶粒邊緣上的局部腐蝕。金屬內的應力過高時，由於在晶粒邊緣上不

能形成充分坚强的保护膜，就使侵蝕性的溶液渗入这些地带。假定碱的作用在于将分布在晶粒边缘部分的金属原子引入溶液中，而形成铁的氧化物。这种氧化物的体积比金属体积大，因此，加强了金属内的应力。他们还设想碱能溶解积聚在晶粒边缘的杂质。这种假說認為反应式(1)所析出的氢并不起重要的作用。

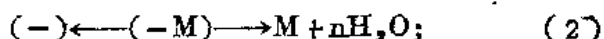
第二种假說則認為氢起主要作用。这个理論的拥护者認為：由于金属结构內出現有铁的氢化物，故析出的氢会引起所謂鋼的“氢气脆化”，并認為很可能由于被析出的氢同沿晶粒边缘的杂质发生反应而生成气态的反应产物。这种气体产物不同于氢，它不能从金属内扩散出来，同时它促进过高应力的发展和裂紋的形成。这样，在这里就把“苛性脆化”和工程学中众所周知的“氢气脆化”現象（例如：当金属被酸侵蝕时）混为一談了。“氢理論”直到現在还为英国学者杰士和美国冶金专家查波夫所支持。他們認為金属吸收氢是锅炉金属內形成裂紋的主要原因。此时，可認為：含于锅炉水中的矽酸在金属吸收氢的过程中起催化剂的作用。

二、金属腐蝕的电化学理論

显然，只有金属腐蝕的电化学理論才可以对锅炉金属內出現晶粒間裂紋的原因提出最切合实际地解釋。因此，有必要将这种理論的基本原理簡要地叙述如下：

根据Г.В.阿基莫夫和Н.Д.托馬紹夫等人所发展的现代的論点，在金属或合金表面上微电化电池的存在，也即具有不等的电位的部分的存在是金属和电解液分界处发生电化学过程的一个必要的基本条件。因此，金属的腐蝕决定于許多共同作用的因素，其中主要的是：

1. 主要依靠水合能量而使金属离子轉移到溶液中的阳极过程，这个过程可用下式表示之：



2. 能促进还原作用的离子或分子，其中特別值得提到的为氢

离子，同阴极上的电子相结合的阴极过程：



3. 金属和溶液的欧姆电阻。

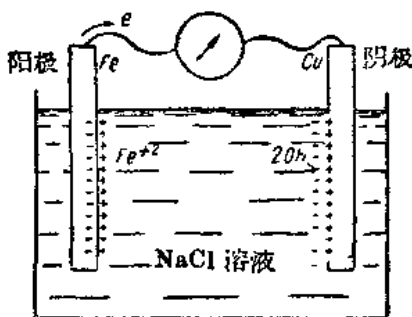


图 2 腐蝕电池的模型

腐蝕电池的作用，可以用浸沒于电解液中（例如：NaCl溶液）的鋼和銅的电极所組成的原电池为例來說明。在用导線从外面接通两极以前，在“金属和电解液”的分界面上生出平衡而成对的电层；这种电层的大致结构如图 2 所示。銅电极表面上的带电层是由于鐵的离子-原子同水分子发生水合作用而形成的。水合能量

大于离子-原子同电子的結合能量。因此，水分子就从銅电极的表面把 Fe^{++} 离子引入同金属相接触的电解液层中。相当于这些鐵离子量的负电荷（电子）則留在金属中，而形成了负电荷层。它借靜電的力量将水合的金属离子保持在金属和液体的分界面上。

由于部分的鐵离子-原子离开了电极，与自由电子集聚在金属表面上，所以金属的电位就向負的方向轉移。同样地所有成为腐蝕电池阳极的非貴重金属都起着这种作用。

貴金属（例如銅）上所产生的电位变动同上面所談到的有根本的区别。这类金属的特点是离子-原子和电子之間的結合能量大于水分子和离子-原子的水合能量。銅电极表面上双电层的形成是由于金属表面对电解液中阳离子的吸附作用的結果，因此，这类金属的电位就向正值范围轉移。这类金属一般都成为腐蝕电池中的阴极。

因此，在电极的外部未用导線接通时，电解液和金属間的相互作用的結果仅在金属表面上形成双电层，因而实际上不会使金属发生显著溶解。

在两电极外部用导線接通时，由于电子从銅电极（阳极）移向

銅電極(陰極-電子接受器)，導線中就現出電流。

由於電子離開了鋼電極，就使相應(按電荷的數量)數量的鐵離子-原子游離而轉入溶液中。這些離子-原子原先是被負電荷中的電子固定在金屬表面上的，因此，接通電極所引起的第二個後果，就是使鐵轉入溶液中；換句話說此種金屬遭受了腐蝕。第三個後果是移向陰極的電子被電解液中的離子或分子所吸收。

上面所敘述的腐蝕電池模型，基本上說明了腐蝕介質(電解液)對金屬或合金的作用性質。當把這類金屬(或合金)浸沒於溶液中，它的整個表面即分成了許多的陽極區和陰極區(微電池)；這些陽極區和陰極區就給腐蝕過程的進行創造了條件。

當電解液對碳素鋼發生作用時，純鐵體的顆粒成為陽極區，而在金屬結構中所有的導電雜質以及附於金屬表面的氧化物和鐵鏽即構成陰極區。這些雜質的電位要比純鐵的電位高得多。

如果在金屬上沒有保護膜，則顆粒本身與其邊緣所形成微電池的作用就有重要意義。沿顆粒邊緣的原子分布情況不如晶體內部的原子整齊，因此，晶粒邊緣就能夠成為陽極，而晶粒本身則為陰極。在金相學的研究中，

一向均利用金屬晶粒的這種特性而以適當的藥劑侵蝕法來顯現金屬的顯微結構。當金屬含有各種雜質，在金屬凝固時雜質沉淀於晶粒之間，晶粒邊緣的局部腐蝕就更加嚴重。圖3表示的即為這一類腐蝕電池的示意圖。

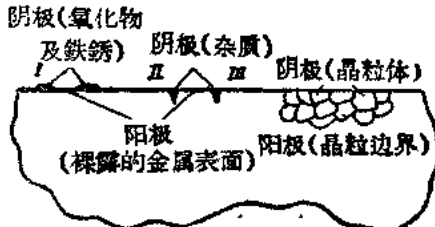
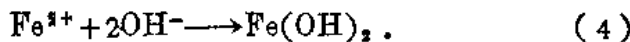


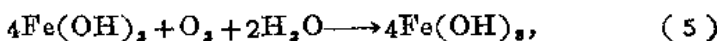
圖3 腐蝕電池示意圖

在腐蝕電池作用的過程中陽極和陰極附近的電解液的成份發生一定的改變。在陽極區金屬離子的濃度增高起來，而在陰極區則由於氫離子的放電或水中所含氧分子的還原就使氫氧根(OH^-)積聚起來。在陽極反應的和陰極反應的產物(OH^- 根和陽離子)相遇的地方生成受蝕金屬的氫氧化物。在鋼發生腐蝕時，其

过程可用下列反应式說明：



應該着重地指出：沉淀物 $\text{Fe}(\text{OH})_2$ 一般并不是直接产生在金属受蝕表面上的，而是在溶液的內部，即在腐蝕過程的阴极和阳极反应中扩散出来的产物彼此相遇的地方。此时所生成的疏松沉淀物不能阻止电解液对金属的侵入，因此，就不能制止金属的腐蝕。只有当阴极和阳极处于直接接触的情况下，才可以指望在腐蝕的表面上形成一种可以防止金属腐蝕的氢氧化合物的薄膜。在某些情况下，腐蝕产物同某些物质相互作用时会进一步发生較复杂的变化，例如同溶解于水中的氧发生如下的作用：



或同强碱发生作用而生成亚鐵盐和鐵酸盐。

应当把腐蝕电池的发生看作是必然而不可避免的事，但并不是使腐蝕过程向前进行的唯一条件。只有在能够滿足几个附加要求时电化学的腐蝕过程才能实现。这些要求的第一項是：必須有阳极区阴极区的去极化作用。这一点可以用上述腐蝕电池（如图2，把鋼和銅的电极插入 NaCl 溶液时所形成的）的工作为例來說明。在两极被接通前，电位是固定不变的：正极金属（阴极—Cu）为 V_k^o ；负极金属（阳极—Fe）为 V_A^o 。

显然，在两极被接通后的最初瞬间內，所形成的电池（Fe/ NaCl/Cu ）发出的电流为：

$$I_{\text{max}} = \frac{V_k^o - V_A^o}{R}, \quad (6)$$

式中 $V_k^o - V_A^o$ ——阴极和阳极間的初电位差；

R ——腐蝕电池的内、外电阻之和。

实验指出，在接通此电池的两极以后經過一段時間，电流降至一个比較稳定的数值 I ；它小到只有 I_{max} 的許多分之一。在很多情况下， I 值甚至可认为是零。毫无疑问，电池强度的这种急剧降低乃是由于电极电位的改变所引起的。

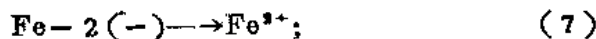
当电流通过时，原电池的电极初电位差即行减小，从而引起

电流强度的减弱，上述这种現象叫做极化作用。极化作用分为两种：阳极极化作用——在电流通过时，阳极电位向正的方向移动；阴极极化作用——在电流通过时，阴极电位向负的方向移动。

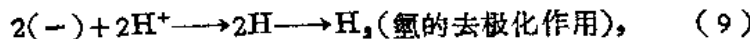
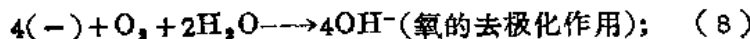
极化作用可阻碍腐蚀电池的作用；因而它的存在可使腐蚀的速度大为降低。如果没有极化現象存在的話，那么电化学腐蚀就会非常迅速地进行。

如果电解液內存在着某些特殊物质(去极化剂)时，极化作用即会降低。阴极部分的去极化作用对钢的腐蚀过程的情况有重大的影响。这种作用是由于电解液內的氧化剂(例如：溶解的氧或氢离子)所供给的。因此，根据上述理論，钢的腐蚀决定于下列过程的进行情况：

1. 阳极过程金属轉移到溶液中而放出电子：



2. 阴极过程吸收由阳极所放出的电子的去极化作用：



根据电流通过时电位位移的程度(或者換句話說，电极的极化程度)，可以判断电极过程进行的“容易程度”。每个单位电流所引起的电位位移愈小，电极过程受到的阻碍也就愈小；反之，电极的极化程度很大时，这种过程就会很快的衰减以至停止。

电位和加于电极电流的上述关系，通常采用极化曲綫来表示。繪制极化曲綫已成为研究腐蚀現象的主要方法。这种方法是經 H.J. 托馬紹夫多次的研究而发展的。在下面所列举的有关研究鍋炉金属的“苛性脆化”产生的进程和各类物质在脆化中所起的作用几項實驗中，一部分是以这个方法为基础的。

在下面列举的几幅曲綫图中(見图7、65、66)，纵坐标表示随极化作用而改变的电位值，自下而上它的数值逐渐变成更大的负值；横坐标表示极化电流的数值。

最后必須指出，借助于实际金属或合金的阴极极化作用，也

就是說將實際金屬或合金接至直流電源的負極上，可以完全制止微電池的作用。在這種情況下，在金屬表面的所有點上，不論它原先是陽極或陰極都將有氫離子放電現象，即陰極區所固有的作用過程。陰極電流的這種特性——“抑制”腐蝕過程（陰極保護），在許多工程結構的金屬防腐方面已得到廣泛的應用。

當陽極電流使金屬發生極化作用時，由於所謂陽極的溶解會產生很大的金屬重量損失，但是當陽極極化電流達到一定密度時，在許多金屬（包括鋼在內）上能形成保護膜（鈍化膜）；這種保護膜能大大地減弱腐蝕過程的強度，甚至使它完全停止。

這種陽極鈍化的方法也廣泛地用來防止金屬的腐蝕。

三、鍋爐金屬晶粒間腐蝕的實驗研究

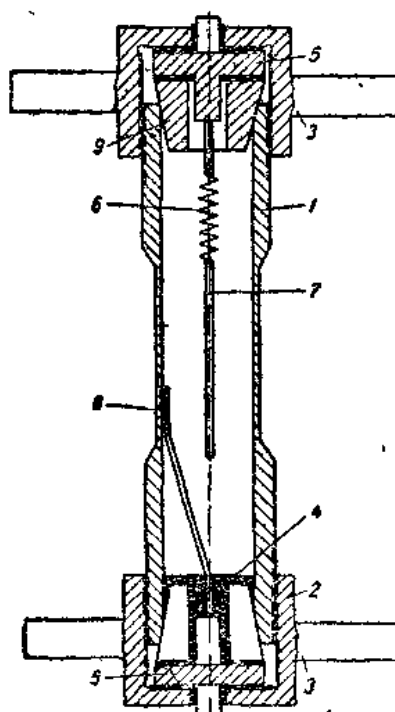


圖 4 腐蝕試驗用的儀器

為了研究鍋爐水的侵蝕性，也就是說研究鍋爐水引起金屬晶粒間腐蝕的能力，曾做了幾種儀器。但是這些儀器都有許多重大缺點：笨重，不能在金屬內造成所需要的而又準確地測得其應力的大小，使用的手續又複雜，不能在壓力大於 $35\sim40$ 大氣壓時應用等等。為了在100大氣壓以上的情況下檢驗水的侵蝕性和鍋爐金屬的性能，又制出如圖4所示的一種儀器。

取直徑為 28×5 毫米、長度為200毫米的一段管子製造試樣，將其中間部分旋薄，旋薄段與原來直徑段之間有逐漸均勻地改變尺寸的過渡段。這樣的旋薄，就使試樣強度降低。旋薄處的管壁

厚度为1毫米。試样两端的外面均有絲扣，用以同仪器联接。此仪器的主要部分如下：

带有内螺紋的端盖2和便于将蓋擰到試样上的手把3；5为密封試样用的閥；白金絲6，它和上部閥5联接处卷成螺旋形；鉄电极7和螺旋形的白金絲6相联接；氯化銀电极8用以測量試样薄壁附近电位并且連接下部的閥5；9为密封圓錐；1为管子。

上下两个閥5和試样表面及端蓋3之間应垫以石棉橡胶紙板，并涂以耐高温的油漆使在电气上相互絕緣。

試样在各种物質的溶液中的稳定性曾在完成下列工序后作过試驗。即在装好密封圓錐、石棉橡胶紙板垫衬和表面涂过漆的閥并接上氯化銀电极后，将端蓋2擰紧在試样的下端。仍把試样保持在垂直位置，向試样中灌注石膏以便形成絕緣层4。当石膏硬化后，向管中灌入要試驗的溶液到管子容积的三分之二为止。

用电炉将注入的溶液加热到沸点。在这种沸腾状态下，用端蓋2压紧上部閥5。作腐蝕試驗时，把上述装配好的仪器(10只)放入一个空气恒温器內，其中保持温度320°C，它相当于約100表大气压的蒸汽压力(由于在試样內溶液沸腾所生成的)。在此压力下試样金属受到一个恆定的应力，在中間旋薄之处应力最大，并可按下式求之：

$$\sigma = \frac{P}{230} \left(\frac{d_s}{S} + 1 \right), \quad (10)$$

式中 σ —在試样中間旋薄处的拉伸应力，公斤/毫米²；

P —試样中的蒸汽压力，公斤/厘米²；

S —試样旋薄处的管壁厚度，毫米。

在这些試驗中 σ 值一般为20公斤/毫米²。試样金属机械的和熱力的工作情况，可以由选择相应的 P 、 d_s 和 S 的数值来改变。

介质侵蝕性的强弱是以試样中間旋薄部分的持久程度来判断的，这里金属处于电解液和較高机械应力的双重作用下。在电解液有侵蝕性时，試样上便有裂紋出現，随即有針孔形成。在作此試驗时，試样中的溶液对周围并无危险，因为恒温器是做成密閉的

金属容器的形式，而且容积既大又坚固。因此，当试样破裂时能把溶液限制在恒温器之内。

所试溶液的作用大小以试样破裂所需之小时数来判断，并和蒸馏水(在蒸馏水中金属是完全抗蚀的)的作用相比。在被蚀表面有着阴极的和阳极的极化作用的试验中，有直流电按六种方向通过试样和电极之间。对于由于直流电的通过而蓄积在仪器中的氢，可令低压交流电间歇地而瞬时地通过试样和电极使它在白金螺旋线上烧尽。试样破裂后，将仪器拆卸。除被破坏的试样(试验后须加以研究)外，仪器的一切部件以后仍可用来作这类试验。

为了研究承受应力的钢(20号)在碱水中发生裂纹的过程，曾在阴极和阳极的各种极化程度下作过试样的机械稳定性试验。试验是在试件内压力为100表大气压，苛性钠浓度为30%和机械应力约为20公斤/毫米²的条件下进行的。

图5表示在阴极和阳极极化时试样稳定性和电流密度之间的关系。纵坐标表示试样遭受介质作用的时间，横坐标表示极化电流的密度。曲线上的各点说明在试样旋薄部分内形成裂纹时的电流密度。

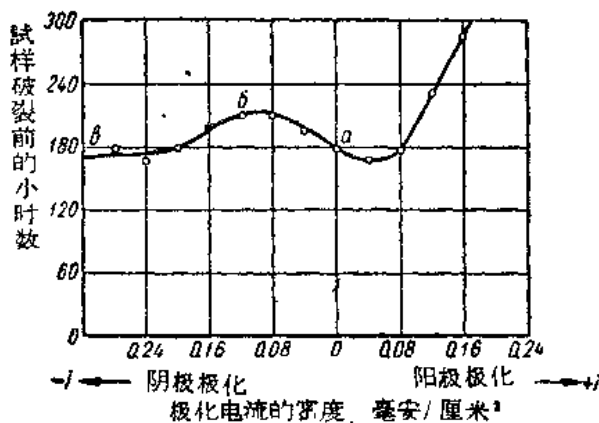


图5 在30%的NaOH溶液中试样稳定性同极化电流密度的关系曲线